

В.М. Гунько¹, І.Ф. Миронюк², В.Л. Челядин², Р.В. Ільницький², В.О. Коцюбинський²,
Т.В. Гергель², Р. Лебода³, Я. Скубішевська-Земба³

Структурні і адсорбційні властивості пірогенних оксидів TiO₂, TiO₂/SiO₂ та TiO₂/Al₂O₃

¹Інститут хімії поверхні ім. О.О. Чуйка Національної академії наук України
вул. Ген. Наумова, 17, Київ, gun@voliacable.com

²Прикарпатський національний університет ім. Василя Стефаника,
вул. Шевченка, 57, Івано-Франківськ, e-mail: myrif@rambler.ru

³Університет ім. М. Кюрі-Скłodовської, Люблін, Польща, e-mail: leboda@hermes.umcs.lublin.pl

Синтезовані пірогенні оксиди металів на основі TiO₂: TiO₂/SiO₂, TiO₂/Al₂O₃ і TiO₂/SiO₂/Al₂O₃ з малим вмістом SiO₂ та Al₂O₃. Досліджена морфологія і будова частинок цих матеріалів за допомогою методів рентгенофазового аналізу, інфрачервоної спектроскопії з Фур'є перетворенням та низькотемпературної адсорбції азоту та аргону. Показано, що у складних оксидних матеріалах присутні фази анатазу та рутилу, але їх відносний вміст змінюється в залежності від співвідношення вихідних прекурсорів. Нанодисперсні матеріали характеризуються незначним ступенем агрегації первинних частинок.

Ключові слова: пірогенний діоксид титану, пірогенний TiO₂/SiO₂, пірогенний TiO₂/Al₂O₃, пірогенний TiO₂/SiO₂/Al₂O₃, анатаз, рутил, РФА, ІЧФП, адсорбція, морфологія частинок.

Стаття постуила до редакції 11.01.2007; прийнята до друку 15.03.2007.

Вступ

Індивідуальні та складні пірогенні оксиди металів широко використовуються у промисловості, медицині, косметології, сільському господарстві тощо [1-4]. Пірогенний діоксид кремнію і титану мають найбільш широке застосування. Їх виробництво налагоджене в багатьох передових країнах. Властивості цих матеріалів суттєво залежать від умов синтезу, вмісту різних функціональних добавок, методів структурного модифікування, питомої поверхні, розподілу частинок за розмірами, ступеня їх агрегації [1-13]. Є кілька підходів для зміни властивостей пірогенних оксидів: модифікування поверхні органічними, кремнійорганічними або іншими сполуками, використання домішок чи допантів (наприклад, інших оксидів металів) у процесі синтезу чи створення складних, двох- та трьохкомпонентних оксидних систем з регульованою морфологією і будовою поверхні [10-12]. З'ясовано, що майже усі фізико-хімічні властивості складних пірогенних оксидів корелюють з поверхневим вмістом активних фаз TiO₂ або Al₂O₃ у SiO₂/TiO₂, SiO₂/Al₂O₃, Al₂O₃/SiO₂/TiO₂ [13]. Тому при створенні складних оксидних матеріалів треба досліджувати їх властивості з урахуванням цих обставин, тобто

визначати залежність фізико-хімічних характеристик від будови поверхні, морфології первинних та вторинних частинок. Складні пірогенні оксиди металів досліджені значно менше, ніж індивідуальні SiO₂ та TiO₂. Окрім того, властивості складних оксидів є дуже чутливими щодо технології їх одержання, оскільки незначні зміни умов синтезу можуть суттєво впливати на характеристики складних систем за рахунок зміни поверхневого вмісту різних оксидів. Тому у даній роботі досліджено кілька складних оксидних систем на основі TiO₂.

I. Одержання оксидних матеріалів та методи їх дослідження

Дослідні зразки пірогенних оксидів металів синтезовано на Дослідно-експериментальному заводі ІХП НАН України (м. Калуш). Сировиною для їх одержання були TiCl₄, SiCl₄ і AlCl₃, які подавали у O₂/H₂ полум'я для гідролізу/окиснення і утворення наночастинок оксидів з різними вмістом TiO₂ як головного складника у TiO₂/SiO₂, TiO₂/Al₂O₃ та TiO₂/SiO₂/Al₂O₃ (табл. 1).

Процес одержання TiO₂ включав підготовку сировини; випаровування TiCl₄ і його гідроліз у

полум'я; відділення TiO_2 від газових продуктів реакції; очистку продукту від адсорбованого хлористого водню. Чотирьоххлористий титан, що використовувався при синтезі TiO_2 та складних оксидних матеріалів, відповідав вимогам ДОСТ 48-18-72. Його густина при 293 К складала $1730 \text{ кг} \cdot \text{м}^{-3}$. Температура кипіння $TiCl_4$ при атмосферному тиску $0,101325 \text{ МПа}$ становила 409 К. Для організації горіння воднево-повітряної суміші використовували трубчастий паликовий пристрій діаметром 32 мм. Швидкість дозування $TiCl_4$ становила $26 \text{ л} \cdot \text{год}^{-1}$. Процес синтезу TiO_2 здійснювали при температурі полум'я 973-1373 К. Для оптимізації температурного режиму полум'я кількість повітря в реакційному потоці перевищувала стехіометрично необхідне значення.

При синтезі оксидного матеріалу TiO_2/SiO_2 пари $TiCl_4$ та $SiCl_4$ із випарників транспортувались гарячим повітрям (363 К) у паликовий пристрій, де змішувались із воднем. Приготовлена реакційна суміш подавалась на спалювання в реакційну камеру.

Складний оксидний матеріал TiO_2/Al_2O_3 одержували в інший спосіб. Пара $TiCl_4$ разом із H_2 і повітрям подавалась на спалювання через паликовий пристрій, а пара $AlCl_3$ із сублиматора транспортувалась у кільцевий дозатор, який огортав верхню частину полум'я. Через отвори в дозаторі пара $AlCl_3$ інжектувалась безпосередньо в полум'я.

Для визначення морфологічних, структурних і адсорбційних характеристик синтезованих матеріалів було використано кілька методів: рентгенофазовий аналіз (РФА), інфрачервону спектроскопію з Фур'є перетворенням (ІЧФП) і низькотемпературну адсорбцію азоту та аргону із суміші аргону з гелієм.

Рентгенограми дослідних зразків записували з допомогою дифрактометра ДРОН-4-0,7 у випромінюванні мідного аноду з Ni-фільтром у відбитому промені. Фокусування рентгенівських променів здійснювалось за схемою Брега-Брентано.

Усереднений за об'ємом розмір областей когерентного розсіювання рентгенівського випромінювання (ОКР) дослідних зразків у напрямку, перпендикулярному до групи площин із індексами (hkl), визначали за рівнянням Шеррера:

$$\langle d \rangle = \frac{0,9\lambda}{\beta_s \cos \theta}, \text{ де } \beta_s - \text{інтегральна ширина}$$

дифракційного рефлексу, уширення якого зумовлене впливом дисперсності зразка; λ – довжина хвилі рентгенівського випромінювання; θ – кут дифракції.

Інфрачервоні спектри дифузного відбиття (ІЧФП спектри) зразків реєстрували з допомогою Фур'є-спектрометра Thermo Nicolet. Для цього наважку зразка (4 мг) змішували з KBr у співвідношенні 1:100, подрібнювали у вібраційному млині 10 хвилин. Із приготовленої суміші пресуванням формували прозору пластинку розміром $20 \times 5 \text{ мм}^2$.

Розподіл пор (пустот між первинними частинками у вторинних частинках) за розмірами (РПР) розраховували з використанням теорії функціоналу густини (ТФГ) на основі рівняння [15]:

$$A(p) = v_M \left[\int_{\sigma_{ss}/2}^{r_k(p)} \rho_f(R) f(R) dR \right] + v_M \left[\int_{r_k(p)}^{R_{max}} \frac{t}{R - \sigma_{ss}/2} \rho_M(R) f(R) dR \right], \quad (1)$$

де v_M – мольний об'єм рідкого адсорбату, ρ_f – густина флюїду в порах, ρ_M – густина адсорбату при багат шаровій адсорбції, r_k – радіус пор, заповнених при тиску p , σ_{ss} – діаметр зіткнення для поверхневих атомів. Розрахунок залежності густини від тиску можна зробити на основі узагальненого рівняння фон Бендера [16]:

$$p = \rho T \cdot [R_g + B\rho + C\rho^2 + D\rho^3 + E\rho^4] + \rho T \cdot [F\rho^5 + (G + H\rho^2)\rho^2 \exp(-a_{20}\rho^2)], \quad (2)$$

$$\text{де } B = a_1 - a_2/T - a_3/T^2 - a_4/T^3 - a_5/T^4;$$

$$C = a_6 + a_7/T + a_8/T^2; D = a_9 + a_{10}/T; E = a_{11} + a_{12}/T; F = a_{13}/T; G = a_{14}/T^3 + a_{15}/T^4 + a_{16}/T^5;$$

$$H = a_{17}/T^3 + a_{18}/T^4 + a_{19}/T^5;$$

$$a_{20} = \rho_c^{-2}; a_i - \text{константи, } R_g - \text{газова константа.}$$

Перехід з газової фази (індекс g) до рідини (l) чи флюїду у формі багат шарового адсорбату (m) можна зробити на основі рівняння для леткості f :

$$\ln \frac{f(T, \rho)}{R_g T \rho} = \frac{p(T, \rho)}{R_g T \rho} - 1 + \frac{1}{R_g T} \int_0^p [p(T, \rho) - R_g T \rho] \frac{d\rho}{\rho^2} \quad (3)$$

і

$$f_{l,m} = f_g \exp\left(\frac{E_{l,m}}{RT}\right), \text{ де } E - \text{енергія взаємодії молекули}$$

адсорбату зі стінкою пори і сусідніми молекулами, яку можна розраховувати з використанням потенціалу Ленарда-Джонса [14].

II. Результати і дискусія

Характеристики синтезованих пірогенних матеріалів, які представлені в табл. 1 та на рис. 1 і 2, вказують на те, що за морфологічними ознаками вони схожі незалежно від їх хімічного складу. Так, наприклад, питома поверхня наночастинок змінюється незначно в межах $40-50 \text{ м}^2/\text{г}$. Насипна густина (ρ) тільки для зразка TiO_2/SiO_2 дещо більша, ніж для інших оксидів металів.

Середній розмір кристалітів анатазу та рутилу ($\langle d \rangle$) для TiO_2 та складних оксидних систем на його основі співпадає із середнім розміром наночастинок (d). Це засвідчує, що окремі наночастинок порошкових матеріалів є монокристалічними. Параметри кристалічної комірки рутилу та анатазу практично не залежать від наявності порошковому матеріалі інших оксидів. Максимальне їх зменшення

Таблиця 1

Фізико-хімічні властивості та структурні параметри окремих фаз складних оксидів металів

№	Склад	ρ , г/дм ³	рН	S_{Ar} , м ² /г	Рутил				Анатаз			
					a , Å	c , Å	d , нм	вміст, %	a , Å	c , Å	d , нм	вміст, %
1	TiO ₂	110	3,3	40	4,5934	2,9569	30,6	31,5±0,5	3,7833	9,5078	53,6	68,5±2,1
2	TiO ₂ + 33,3 % SiO ₂	166	3,1	48	4,5939	2,9582	42,5	28,3±0,7	3,7797	9,4924	38,3	71,7±2,2
3	TiO ₂ +18,3% Al ₂ O ₃ + SiO ₂	115	4,4	41	4,5923	2,9566	34,9	29,6±0,7	3,7839	9,5041	22,7	70,4±1,7
4	TiO ₂ + 35,6% Al ₂ O ₃	95	4,0	47	4,5928	2,9531	31,4	25,4±0,6	3,7835	9,5063	36,6	74,6±1,6

S_{Ar} – питома поверхня, ρ - насипна густина, a і c – постійні кристалічної комірки рутилу і анатазу, d - середній розмір кристалітів. Абсолютна номінально допустима похибка виміру параметрів комірки: $\pm 0,00018$.

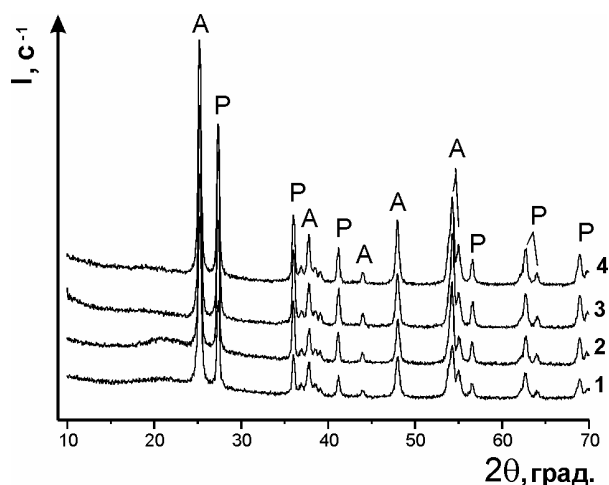


Рис. 1. Рентгенограми пірогенних оксидів TiO₂ (1), TiO₂/SiO₂ (2), TiO₂/SiO₂/Al₂O₃ (3) та TiO₂/Al₂O₃ (4) (літерами А і Р вказано рефлексні лінії анатазу і рутилу відповідно).

(< 0,2%) характерне для фази анатазу в TiO₂/SiO₂, що може бути наслідком ізоморфного заміщення певної кількості атомів Ti на атоми Si в структурі анатазу. У той же час, параметри комірки рутилу практично не змінюються, тобто такого ж заміщення у фазі рутилу не спостерігається. Треба зазначити, що кремнезем, як «гість», стабілізує тільки фазу анатазу, а не рутилу [16,17], на відміну від оксиду алюмінію [9]. Кремнезем в складі пірогенних TiO₂/SiO₂ навіть затримує фазовий перехід анатаз → рутил при прожарюванні на 200 К вище за температуру фазового переходу чистого TiO₂ [16,17]. Тому, при наявності Al₂O₃ в складних оксидах (табл. 1, зразки 3 і 4) постійні комірки фази анатазу зменшуються в меншій мірі, ніж для фази рутилу. Можна припустити, що незначна частина атомів Ti у фазі рутилу заміщена на атоми алюмінію. Це припущення підтверджується спектрами ЯМР на ядрах ²⁹Si та ²⁷Al для подібних складних оксидів [10,12,13], які свідчать про відповідні зміни в цих спектрах у залежності від складу оксидів.

Значення питомої поверхні зразків TiO₂/SiO₂ та TiO₂/Al₂O₃, які розраховано за даними адсорбції аргону (табл. 1, S_{Ar}) і азоту, практично однакові

($S_{N_2} = 48$ і 49 м²/г відповідно). Проте значення $S_{N_2} = 22$ м²/г для TiO₂, є меншим, ніж за даними одержаними при адсорбції аргону (табл. 1). Ізотерми адсорбції азоту (рис. 2а) відносяться до типу II за класифікацією IUPAC, який характерний для матеріалів з текстурною пористістю, тобто порожнинами між непористими первинними частинками. Такий тип пористості є характерним для усіх пірогенних оксидів [4,8-13]. Петля гістерезису для зразків TiO₂/SiO₂ і TiO₂/Al₂O₃ починається при меншому відносному тиску $p/p_0 = 0,6$, ніж для TiO₂ $p/p_0 = 0,75$. Це свідчить про більшу ступінь агрегатованості первинних частинок складних оксидів. Є декілька факторів, які сприяють цьому процесу: (1) складні оксиди мають більш широкий набір поверхневих центрів, які обумовлюють сильнішу взаємодію між частинками, а також частинок з водою; (2) густина поверхневого заряду на різних фазах є не однаковою; (3) різні умови синтезу складних оксидів. Про меншу схильність щодо агрегатованості первинних частинок чистого TiO₂ свідчать і відмінності у РПП при порівнянні з іншими оксидами (рис. 2). Так РПП для TiO₂ має меншу інтенсивність відносно інших оксидів при радіусі пор $R < 10$ нм незалежно від використаної моделі пор. Менша питома поверхня TiO₂ відповідає більшому розміру первинних частинок $S \sim d^{-1}$, як і дані РФА, які свідчать про максимальний розмір кристалітів (d) анатазу для чистого TiO₂ (табл. 1). Про незначну агрегацію первинних частинок свідчить і значна різниця між об'ємом, який заповнює азот при $p/p_0 \rightarrow 1$, $V_{пор} = 0,13$ см³/г (TiO₂) до $0,2$ см³/г (TiO₂/Al₂O₃), і загальним порожнім об'ємом в порошковому матеріалі ($V_n = 1/\rho_n - 1/\rho_0$), який дорівнює від 6 см³/г (TiO₂) до 10 см³/г (TiO₂/Al₂O₃). Тобто азот заповнює приблизно 2 % порожнього об'єму. У агрегатованих кремнеземах з питомою поверхнею $300 - 500$ м²/г ця величина зростає до $5 - 10$ %. Чим більша питома поверхня, тим більшу частину порожнього об'єму у матеріалі заповнює азот, тобто тим більша ступінь агрегатованості первинних частинок пірогенного оксиду [4], що обумовлює більш значну капілярну конденсацію азоту між частинками. Треба зазначити, що похибка використаних моделей пор [18] більша (приблизно у 2 рази) для моделі циліндричних пор

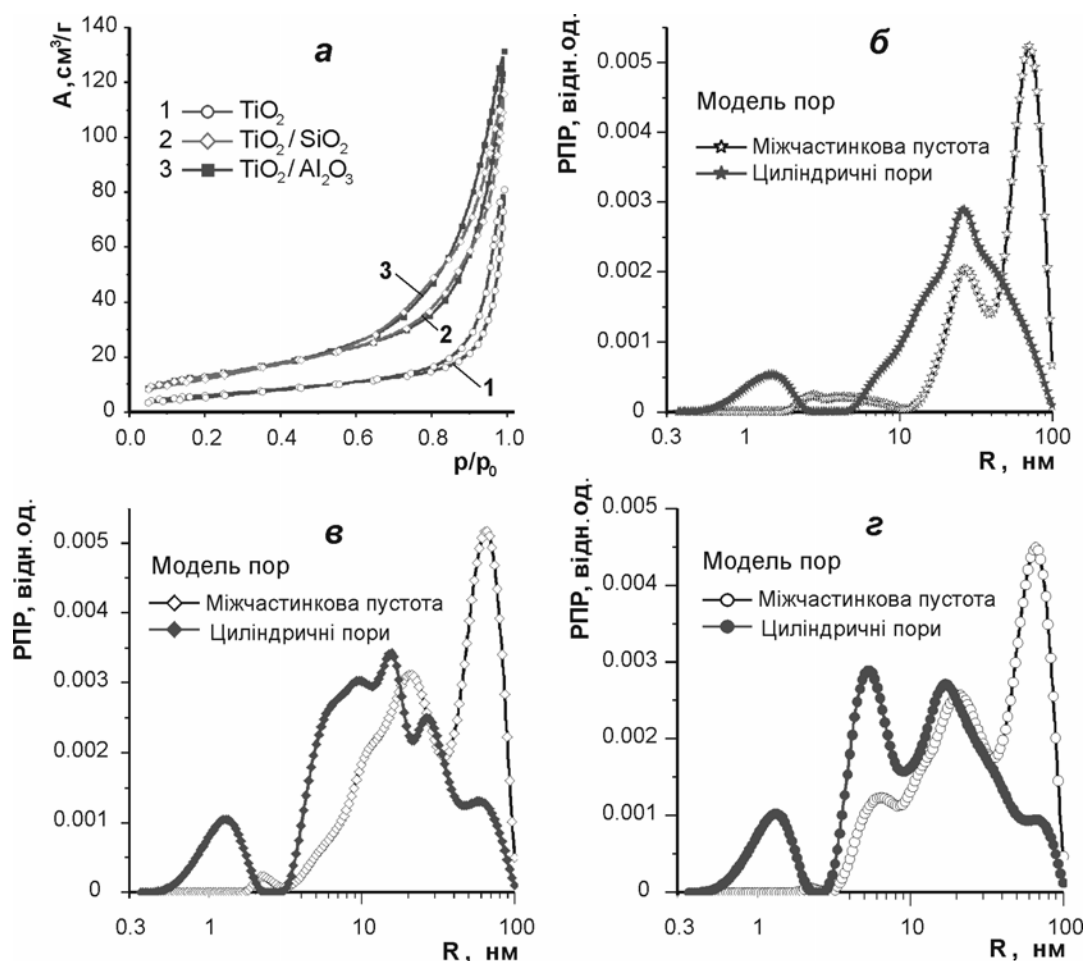


Рис. 2. Ізотерми адсорбції азоту (а) та РПР для діоксиду титану (б), $\text{TiO}_2/\text{Al}_2\text{O}_3$ (в) і $\text{TiO}_2/\text{SiO}_2$ (г), які були розраховані методом ТФГ з використанням двох моделей пор: пустот (порожнин) між сферичними частинками і циліндричних пор.

(до 20%), ніж для моделі порожнин між сферичними частинками (до 10%). Це також свідчить про слабке агрегування первинних частинок, тому що із зростанням агрегованості первинних частинок похибка моделі циліндричних пор зменшується, а похибка моделі порожнин між сферичними частинками зростає.

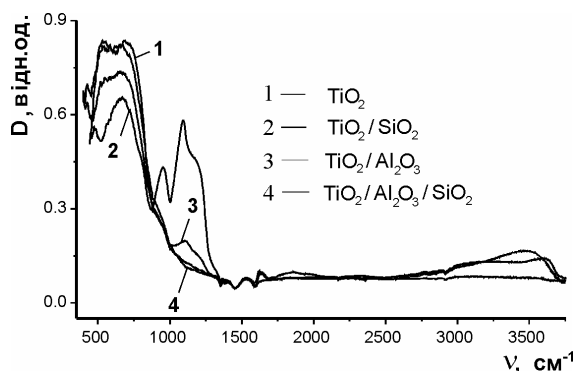


Рис. 3. ІЧФП спектри пірогенних оксидів TiO_2 (1), $\text{TiO}_2/\text{SiO}_2$ (2), $\text{TiO}_2/\text{SiO}_2/\text{Al}_2\text{O}_3$ (3) та $\text{TiO}_2/\text{Al}_2\text{O}_3$ (4).

Про наявність кремнезему в зразку 3 (табл. 1) свідчить смуга при 1100 cm^{-1} в ІЧФП спектрі (рис. 3, крива 3), що відповідає коливанням зв'язків Si-O. Проте його вміст незначний, оскільки інтенсивність цієї смуги значно менша, ніж у зразку 2 (табл. 1, рис. 3, крива 2). Чистий TiO_2 та $\text{TiO}_2/\text{Al}_2\text{O}_3$ (рис. 3) не мають цієї смуги. Характерна інтенсивна смуга при 955 cm^{-1} для зразка $\text{TiO}_2/\text{SiO}_2$ (рис. 3, крива 2) свідчить про наявність у матеріалі зв'язків Si-O-Ti. Це підтверджує припущення про ізоморфне заміщення атомів Ti на атоми Si в комірниці анатазу. Окрім того, ці зв'язки можуть утворюватися на межі контакту фаз TiO_2 та SiO_2 . Наявність адсорбованої води в КВг, який використовували при створенні відповідних таблеток для запису ІЧФП спектрів, не дає змоги проаналізувати структуру поверхневих ОН груп. Проте детальний аналіз особливостей ІЧФП спектрів багатьох складних пірогенних оксидів можна знайти в попередніх публікаціях [10,12,13].

Висновки

Синтезовані зразки пірогенних оксидів металів на основі TiO_2 з малим вмістом SiO_2 та Al_2O_3 містять

анатаз (70-75 %), та рутил (30-25%). Наявність в складному оксидному матеріалі Al₂O₃ приводить до незначного зростання вмісту рутилу. В отриманих зразках первинні частинки слабо агреговані, особливо у чистому TiO₂. При наявності SiO₂ та Al₂O₃ питома поверхня складних оксидів збільшується, що призводить до зростання ступеня їх агрегованості. Таким чином, зміни в складі пірогенних оксидів і в умовах їх синтезу дозволяють отримувати матеріали з наперед заданими фізико-хімічними характеристиками, що важливо з практичної точки зору оскільки властивості пірогенних оксидів металів залежать від морфології первинних частинок і будови їх поверхні.

Гулько В.М. – доктор хімічних наук, професор, завідувач ввіділу аморфних і структурно впорядкованих оксидів Інституту хімії поверхні НАН України

Миронюк І.Ф. – доктор хімічних наук, старший науковий співробітник кафедри матеріалознавства і новітніх технологій, проректор з наукової роботи;

Челядин В.Л. – молодший науковий співробітник кафедри матеріалознавства і новітніх технологій;

Ільницький Р.В. – науковий співробітник кафедри матеріалознавства і новітніх технологій, завідувач аспірантурою університету;

Коцюбинський В.О. – кандидат фізико-математичних наук, доцент

Гергель Т.В. – аспірант заочної форми навчання кафедри матеріалознавства і новітніх технологій;

Лебода Р. – професор кафедри хроматографічних методів Університету ім. Марії Кюрі-Склодовської, Люблін, Польща;

Скубішевська-Земба Я. – доктор, викладач кафедри хроматографічних методів Університету ім. Марії Кюрі-Склодовської, Люблін, Польща.

- [1] Technical Information, Degussa AG, Frankfurt, TI 1176 (1996).
- [2] Basic Characteristics of Aerosil, Technical Bulletin Pigments, Degussa AG, Frankfurt, No 11 (1997).
- [3] Медицинская химия и клиническое применение диоксида кремния. Под ред. А.А. Чуйко, - Киев: Наукова думка, 416 с. (2003).
- [4] J.P. Blitz, V.M. Gun'ko (Eds.). Surface Chemistry in Biomedical and Environmental Science. NATO Science Series II: Mathematics, Physics and Chemistry. V. 228, Springer, 444 p. (2006).
- [5] S.H. Ehrman, S.K. Friedlander, M.R. Zachariah. Characteristics of SiO₂/TiO₂ nanocomposite particles formed in a premixed flat flame // J. Aerosol Sci., **29**(5/6), pp. 687-706 (1998).
- [6] V.M. Gun'ko, V.I. Zarko, V.V. Turov, R. Leboada, E. Chibowski. The effect of second phase distribution in disperse X/silica (X= Al₂O₃, TiO₂, and GeO₂) on its surface properties // Langmuir, **15**(18), pp. 5694-5702 (1999).
- [7] V.M. Gun'ko, V.I. Zarko, R. Leboada, E. Chibowski. Aqueous suspensions of fumed oxides: particle size distribution and zeta potential // Adv. Colloid Interface Sci., **91**(1), pp. 1-112 (2001).
- [8] V.M. Gun'ko, J. Skubiszewska-Zięba, R. Leboada, K.N. Khomenko, O.A. Kazakova, M.O. Povazhnyak, I.F. Mironyuk. Influence of morphology and composition of fumed oxides on changes in their structural and adsorptive characteristics on hydrothermal treatment at different temperatures // J. Colloid Interface Sci., **269**(2), pp. 403-424 (2004).
- [9] V.M. Gun'ko, V.I. Zarko, I.F. Mironyuk, E.V. Goncharuk, N.V. Guzenko, M.V. Borysenko, P.P. Gorbik, O.A. Mishchuk, W. Janusz, R. Leboada, J. Skubiszewska-Zięba, W. Grzegorzczak, M. Matysek, S. Chibowski. Surface electric and titration behaviour of fumed oxides // Colloids Surf. A, **240**(1), pp. 9-25 (2004).
- [10] V.M. Gun'ko, Y.M. Nychiporuk, V.I. Zarko, E.V. Goncharuk, O.A. Mishchuk, R. Leboada, J. Skubiszewska-Zięba, E. Skwarek, W. Janusz, G.R. Yurchenko, V.D. Osovskii, Y.G. Ptushinskii, V.V. Turov, P.P. Gorbik, J.P. Blitz, K. Gude. Relationships between surface compositions and properties of surfaces of mixed fumed oxides // Appl. Surf. Sci., **253**, pp. 3215-3230 (2007).
- [11] V. M. Gun'ko, V. I. Zarko, E. V. Goncharuk, L. S. Andriyko, V.V. Turov, Y. M. Nychiporuk, R. Leboada, J. Skubiszewska-Zięba, A. L. Gabchak, V. D. Osovskii, Y. G. Ptushinskii, G. R. Yurchenko, O. A. Mishchuk, P. P. Gorbik, P. Pissis, J. P. Blitz. TSDC spectroscopy of relaxational and interfacial phenomena, Adv. Colloid Interface Sci., **131**(1-2), pp. 1-89 (2007).
- [12] В.М. Гулько, В.И. Зарко, В.В. Туров, Е.В. Гончарук, Ю.М. Ничипорук, Л.С. Андрийко, А.А. Турова, О.А. Мишук, Ю.Г. Птушинский, П.П. Горбик, Р. Лебода, Я. Скубишевська-Земба, П. Писис, Дж. П. Блиц. Закономерности поведения наноматериалов в разных средах, обусловленные строением поверхности и морфологией частиц // Физико-химия наноматериалов и супрамолекулярных структур, том 1, под редакцией А.П. Шпака и П.П. Горбика, Наукова думка, Киев, 2007, с. 157-226.
- [13] V.M. Gun'ko, J.P. Blitz, K. Gude, V.I. Zarko, E.V. Goncharuk, Y.M. Nychiporuk, R. Leboada, J. Skubiszewska-Zięba, V.D. Osovskii, Y.G. Ptushinskii, O.A. Mishchuk, S.V. Pakhovchishin, P.P. Gorbik. Surface structure and properties of mixed fumed oxides // J. Colloid Interface Sci., in press.
- [14] А. Адамсон. *Физическая химия поверхности*. Мир, М., 568 с. (1979).

- [15] V. M. Gun'ko, V. V. Turov, R. Leboda, V. I. Zarko, J. Skubiszewska-Zięba, B. Charmas. Adsorption, NMR and thermally stimulated depolarization current methods for comparative analysis of heterogeneous solid and soft materials // *Langmuir*, **23**(6), 3184-3192 (2007).
- [16] V.M. Gun'ko, V.I. Zarko, E. Chibowski, V.V. Dudnik, R. Leboda, V.A. Zaets. Structure of Fumed titania and silica/titania and influence of the nature of surface sites on interaction with water // *J. Colloid. Interface Sci.*, **188**, pp. 39-57 (1997).
- [17] V.M. Gun'ko, V.I. Zarko, V.V. Turov, R. Leboda, E. Chibowski, L. Holysz, E.M. Pakhlov, E.F. Voronin, V.V. Dudnik, Yu.I. Gornikov. CVD-titania on fumed silica substrate // *J. Colloid. Interface Sci.*, **198**, pp. 141-156 (1998).
- [18] V.M. Gun'ko, S.V. Mikhalovsky. Evaluation of slit-like porosity of carbon adsorbents // *Carbon*, **42**, pp. 843-849 (2004).

V.M. Gun'ko¹, I.F. Myronyuk², V.L. Chelyadyn², R.V. Ilnytsky², V.O. Kotsyubynsky²,
T.V. Gergel², R. Leboda³, J. Skubiszewska-Zięba³

Structural and Adsorption Properties of Fumed Oxides TiO₂, TiO₂/SiO₂ and TiO₂/Al₂O₃

¹ *Chuiko Institute of Surface Chemistry NASU,*

17 General Naumov vul., Kiev, e-mail: gun@voliacable.com

² *Prekarpathion National University named after V. Stefanyk,*

57 Shevchenko Vul., Ivano-Frankivsk, e-mail: myrif@rambler.ru

³ *Maria Curie-Skłodowska University, Lublin, e-mail: leboda@hermes.umcs.lublin.pl*

There were synthesized the fumed oxides of metals on the basis of titania: TiO₂/SiO₂, TiO₂/Al₂O₃ and TiO₂/SiO₂/Al₂O₃ with little content of SiO₂ and Al₂O₃. There were studied the morphology and structure of particles of these materials by means of the methods of X-ray diffraction (XRD), Fourier transform infra-red spectroscopy (FTIR) and low temperature adsorption of nitrogen and argon. It is shown that titania includes phases of anatase and rutile are composite oxide materials, but their relative content changes depending on the ratio of the precursors and reaction conditions. Nanodispersed materials are characterized by the insignificant aggregation degree of primary particles.

Key words: fumed titania, fumed TiO₂/SiO₂, fumed TiO₂/Al₂O₃, fumed TiO₂/SiO₂/Al₂O₃, anatase, rutile, XRD, FTIR, adsorption, morphology of particles.